

北海道開発局土木試験所 正員 大島 久  
北海道大学 工学部 正員 ○ 西堀忠信

### まえがき

数年来、筆者らはプレテンショニング方式のPCゲタを並列してスラブ橋の横方向の継手方法に関する実験的研究を行なってきている。昨年は模型スラブによる荷重分配性状、スラブの終局強度などと継手方法との関係について報告したが、今年は昨年に引き継いで行なった模型および実橋における実験結果と安全度に関する比較検討を行なった結果について報告する。

### 模型実験の概要

(模型について) 模型スラブはS105のJISゲタ10本を用いて支間5m、スラブ幅3.32mの矩形スラブで、ゲタの横方向の継手方法はスラブA: 中詰コンクリートのみ、富配合コンクリート使用(図-1,(b))、スラブB: 横縛め用孔にΦ32mm異形棒鋼を通し、富配合の中詰コンクリート打設(図-1,(a))、スラブC: 横縛め用孔にΦ22mm異形棒鋼を通し、貧配合の中詰コンクリート打設(図-1,(a))、スラブD: 横縛めを行なうもので中詰コンクリート富配合の4種である。スラブA、BおよびDの中詰コンクリートは使用セメント量400kg/m<sup>3</sup>、水セメント比37%、スラブCのコンクリートは使用セメント量300kg/m<sup>3</sup>、水セメント比51.3%である。スラブBおよびCはいずれもスラブの外側にナットで定着している。

(載荷方法) 荷重はスラブの支間中央でスラブと構成するゲタの重心位置25×25cmの支圧板を介して1点集中荷重で載荷した。載荷位置はスラブの端ゲタより順次移動し、各ゲタ上で(こわみおよびひずみの影響線を求めて)載荷重は12tで、1ヶタより10ヶタまで3回の載荷実験を行なった。載荷実験は第1回が荷重約7日に、第2回は第1回の載荷実験後で荷重約10日頃、第3回は第2回の実験終了後上限荷重12t、下限荷重36t、荷重速度250回/毎分の繰返し荷重を1ヶタ上で100万回、および6ヶタ上で100万回加えて後に(こわみの影響線を求めて)後1ヶタで破壊試験を行い、1部破壊したスラブで再び6ヶタで破壊試験を行なった。

(実験結果) 第2回の載荷試験および繰返し荷重載荷後の第3回の載荷試験において1ヶタ上および6ヶタ上に載荷した場合の(こわみ)は図-2に示す。図-2で明らかのように、いずれのスラブも繰返し荷重によって荷重分配特性が変化した。この変化の度合いはスラブAおよびCで大きく、スラブBおよびDは小さい。スラブDについてGuyon-Massonetの図表より $\alpha$ および $\theta$ を測定結果を用いて逆算すると $\sqrt{\alpha} = 0.768$ 、 $\theta = 0.416$ となり、横縛めしないスラブA、BおよびCについては $\sqrt{\alpha}$ が0.83~0.96、 $\theta$ が0.45~0.68の範囲である。しかし、横縛めしないスラブでは推進曲線との偏差が大きく、この傾向は中詰

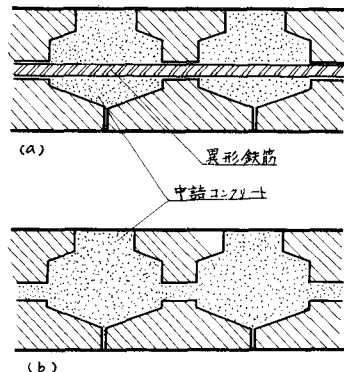


図-1. スラブの横断面図

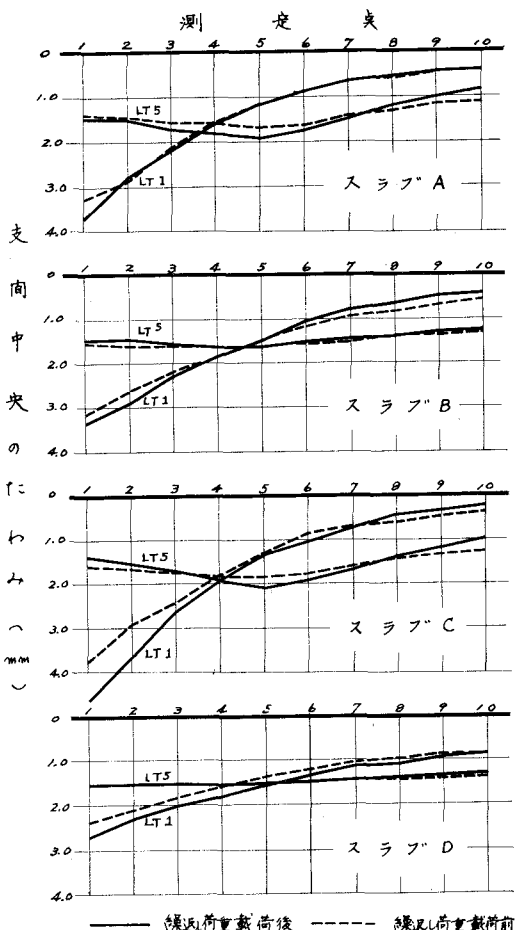
コンクリートのみのスラブAで特に著しかつて。

### 実橋による載荷実験

有効幅員 7.50 m, スラブ幅 9.12 m, 支間 13.0 m  
3連よりなる一等橋で3連のうち中央径間（オ  
2連）は従来のように横縛めを行ふもの、側径  
間（オ1連およびオ3連）は横縛めを行はず、模  
型スラブBおよびCと同じように横縛め用孔にΦ  
32 mm および Φ 22 mm の異形棒鋼を通し富配合の  
中詰コンクリートを打設したものである。中詰コン  
クリートの配合は1連目および3連目がセメント  
使用量 430 kg/m<sup>3</sup> 水セメント比 34.6% ポゾリス  
2.15 kg/m<sup>3</sup>,  $\sigma_{28}$  (標準) = 450 kg/cm<sup>2</sup>, 2連目はセ  
メント使用量 300 kg/m<sup>3</sup>, 水セメント比 45.3%,  
ポゾリス 1.5 kg/m<sup>3</sup>,  $\sigma_{28}$  (標準) = 312 kg/cm<sup>2</sup> である。

スラブの荷重分配は総重量 20 t のトラック 1 台  
を用い、トラックの後輪が支間中央で、後輪の中  
央がスラブの幅員方向でそれぞれ  $1/4$ ,  $5b/16$ ,  $3b/8$ ,  
 $b/2$  およびこれらの対称点計 7 点で 1 ケ所につき  
3 回づつ載荷し、たわみおよびひずみの測定を行  
つた。載荷の時期はオ 1 回が中詰コンクリート打  
設後約 25 日目で橋面の舗装の前であり、オ 2 回  
が供用を開始してから約 7 ヶ月経過後で橋面舗装  
前である。実験の結果オ 1 回およびオ 2 回の実験  
においてもいずれのスラブの場合でもスラブの上  
面にひびわれの発生はみとめられなかつた。スラブの下面ではケタの下フランジの間の中詰コンクリ  
ートが十分行き渡っていないところもあり明瞭ではないが、完全に充填されている場所ではひびわれ  
が認められなかつた。本実験におけるスラブの横方向の曲げモーメントを Guyon - Massonnet の  
方法で計算すると、横方向でスラブの全断面を有効とするとコンクリートの最大引張応力度は 2.45%  
でありケタの下フランジの部分が無効であるとしても 4.9% / cm<sup>2</sup> 程度でありこの程度のスラブ橋の場合  
荷重による引張応力度は小さく、コンクリートの引張りにおける乾燥収縮などの影響が特に大きく  
ない場合には、コンクリートの付着のみによってほぼ完全な結合がもたらると考えられる。図-3 は各載荷  
状態におけるスラブの各測定点のたわみとこれらより求めたスラブの平均たわみとの比のオ 1 回およ  
びオ 2 回の実験結果を示したものである。図の(a)はオ 2 連目は横縛めを行ふものであり、(d)はオ 1  
連目すなはち Φ 22 mm の異形棒鋼を通したものである。これらの結果より 7 ヶ月間一般交通に供用し  
たことにより荷重の分配の性状には変化がみられないが、その変化の割合は両者では同じく、特に両  
者の差違はみとめられない。

図-2 繰返し荷重載荷前後の支間中央のたわみ



— 繰返し荷重載荷後 ——— 繰返し荷重載荷前

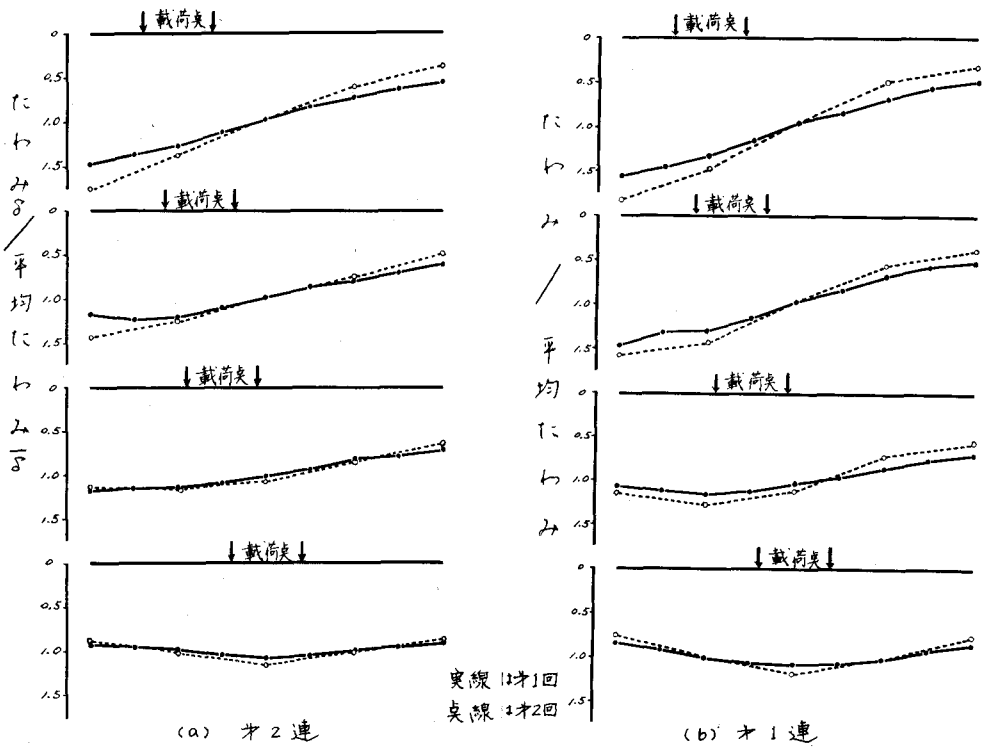


図3. スラブの平均たわみと各点のたわみとの比のオ1回およびオ2回との比較

#### 横縛めしないスラブの解析

模型スラブのA, BおよびC, 実橋でのオ1連およびオ3連のように横方向の結合が中詰コンクリートのみか鉄筋と中詰コンクリートによる場合には横方向の荷重の伝達はスラブの横方向の曲げ剛性によるよりもむしろケタ(またはスラブの要素)のねじり剛性によるものと考えられる。特に、アレテンPCケタの横縛め用孔はケタの高さの $\frac{1}{2}$ にあり、ケタの下フランジ相互の間隔は平均1.3 cmで中詰コンクリートが十分には填充され難いこと、大きな荷重をうけるとケタと中詰コンクリートの付着が阻害される危険性があることなどより、このようなスラブでは直交異方性スラブとして検討する他に、中詰コンクリートでせん断力が連続的に伝達される多主桁橋(図-4)で検討を加えてみる必要がある。この場合スラブの各要素間のずれ(垂直方向)およびせん断変形が無視出来るものとすると、連続の条件より $i$ 番目と $i+1$ 番目の要素の間で

$$w_i + \frac{b}{2}\theta_i = w_{i+1} - \frac{b}{2}\theta_{i+1} \quad \dots \dots \dots (1)$$

$$EIx \frac{d^4 w_i}{dx^4} = P_i(x) - q_{i-1}(x) + q_i(x) \quad \dots \dots \dots (2)$$

$$GJx \frac{d^2 \theta_i}{dx^2} = -\frac{b}{2} \{ q_{i-1}(x) + q_i(x) \} \quad \dots \dots \dots (3)$$

ここで  $EIx$ ,  $GJx$  はケタ1本の曲げ剛性およびねじり剛性を示す。

今

$$P_i(x) = \sum P_i \sin \frac{n\pi x}{l}, \quad q_i = \sum q_i \sin \frac{n\pi x}{l} \quad \dots \dots \dots (4)$$

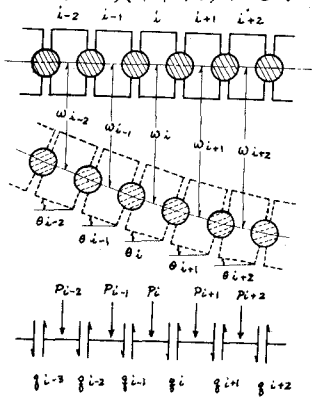


図-4

とおくと、(1), (2)および(3)より

$$-g_{i-1} + 2 \frac{1+m^2d^2}{1-m^2d^2} g_i - g_{i+1} = \frac{1}{1-m^2d^2} (p_{i+1} - p_i)$$

となり、スラブ縁における境界条件、すなわち

$\varphi_0 = \varphi_K = 0$  (K主軸よりなるとして) より(5)式を連た

立に解いて桁間に働くせん断力  $\tau_{\text{sc}}$  が求められ、(2) 式よりたわみは、

$$w_i = \frac{\ell^4}{EI\pi^4} \sum_{i=1}^{\infty} \frac{1}{m^4} (p_i - g_{i-1} + g_i) \sin \frac{m\pi x}{\ell} \dots (6)$$

曲げモーメントは、

$$M_i = \frac{l^2}{\pi^2} \sum_{i=1}^{\infty} \frac{1}{n^2} (P_i - g_{i-1} + g_i) \sin \frac{n\pi x}{l} \quad \dots (7)$$

として求められる。

この場合、ケタのねじり剛性  $GJ_x$  は明らかではないが、模型ゲタに対して  $GJ/EI = 0.56$ ,  $\alpha^2 = 0.0196$

とすると計算結果と実測結果は図5のようになり、曲率の大きくなるところを除いてはよく一致する。

図 6 は実橋に対してスラブの中央支のこわみの計

實績とを比較してみると、模型スラブと同様に

$GJ_x/EIx = 0.56$  とすると  $\alpha^2 = 0.0028$  となるが比較

比較のため示して。図-7はケタ側面のせん断力の影響

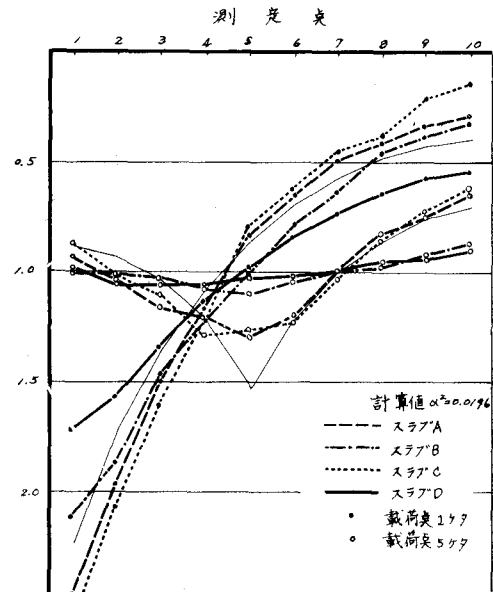
繋線で、GJxが入さなくなると入さくなり、この種のスラブの場合ケタの上フランジつけ根のせん断に対して検討する必要がある。

## まとめ

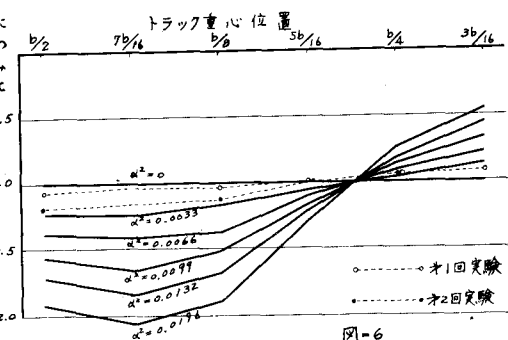
プレテンPCスラブ橋ではケタと中詰コンクリートとの付着が破壊され場合の荷重分配は(5)式の $\alpha^2$ により変化し、支間( $l$ )の大きい場合ほど $\alpha^2$ は小さくなるので、荷重分配性状がよく図1(a)のようなんせん構造はより有効な結合の方法である。また模型スラブのこのような場合でも実際の荷重は広く分布するので十分使用出来ると考えられる。しかしケタの回転に

よクスラブの縁では小さい水平力が生ずるので(b)の

ような構造をとる場合、耳ゲタには特別の配慮が必ず行う重要な要素であるので、高い品質のものを使用



1ケタおよび5ケタに載荷した時の各測定値のたわみの平均たわみに対する比



- 6

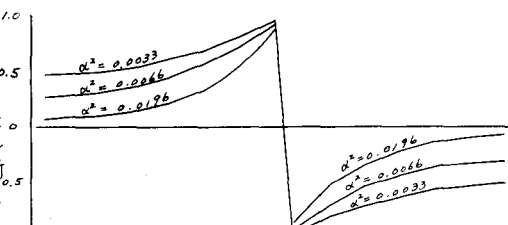


図-7. スラブ中央ケタ側面のせん断力の影響線

1) 主木学会 第23回年次学術講演会 大島 西堀「プレテンPCスラブ橋の実験について」